

## گوگرددزدایی زیستی دیبنزوتیوفن به عنوان الگوی ترکیب گوگردی نفت کوره با باکتری تثبیت شده بر پلی اتیلن

بابک قربانی برناجی<sup>۱</sup>، سرور صادقی<sup>۲\*</sup> و فرهاد سلیمی<sup>۳</sup>

۱. دانشجوی کارشناسی ارشد مهندسی شیمی، گروه مهندسی شیمی، واحد کرمانشاه، دانشگاه آزاد اسلامی، کرمانشاه، ایران.
۲. استادیار شیمی کاربردی، گروه شیمی، واحد کرمانشاه، دانشگاه آزاد اسلامی، کرمانشاه، ایران.
۳. استادیار مهندسی شیمی، گروه مهندسی شیمی، واحد کرمانشاه، دانشگاه آزاد اسلامی، کرمانشاه، ایران.

دریافت: آبان ۹۸ بازنگری: دی ۹۸ پذیرش: بهمن ۹۸

**چکیده:** در این پژوهش، روش گوگرددزدایی زیستی (BDS) با باکتری سودوموناس آئروژینوزا تثبیت شده بر پایه پلی اتیلن برای گوگرددزدایی زیستی دیبنزوتیوفن (DBT) به عنوان نمونه الگوی گوگردی در نفت کوره (مازوت) بررسی شد. نتایج به دست آمده برایه روش طیف‌سنگی نوری در طول موج ۳۲۵ نانومتر نشان‌دهنده حذف زیستی ۹۰/۵۴ درصد از دیبنزوتیوفن در غلظت اولیه  $5 \text{ mg.l}^{-1}$  در pH برابر با ۷ در دمای  $37^{\circ}\text{C}$  پس از ۹۰ دقیقه زمان تماس با  $0/1$  گرم از زیست‌کاتالیست بود. شرایط بهینه به دست آمده برای نمونه مازوت مورد استفاده قرار گرفت و کاهش کل مقدار گوگرد (TSC) به کمک طیف‌سنگی فلورسانس پرتو ایکس (XRF) بررسی شد. نتیجه‌های به دست آمده نشان‌دهنده حذف زیست‌کاتالیست گوگرد دار موجود در نمونه مازوت است. مطالعه‌های سیتیک نشان‌دهنده فرایند جذب شیمیایی بود و سرعت واکنش از معادله شبه درجه دوم پیروی می‌کرد. اطلاعات به دست آمده از جذب دیبنزوتیوفن بر زیست‌کاتالیست با هم‌دما فرون‌دیلیچ همخوانی داشت. ریخت سطح و گروه‌های عامل سطحی زیست‌کاتالیست به ترتیب با میکروسکوپ الکترونی روبشی (SEM) و طیف‌سنگی فروسرخ تبدیل فوریه (FTIR) بررسی شد.

**واژه‌های کلیدی:** گوگرددزدایی زیستی، سودوموناس آئروژینوزا، پلی اتیلن، نفت کوره (مازوت)، دیبنزوتیوفن.

به دلیل عدم توانایی ریزاندامگان<sup>۴</sup>‌ها در زنده ماندن برای مدت طولانی در محیط فاز مایع از امولسیون آب/ماده نفتی باشد [۹، ۷، ۱۷].

بهینه‌سازی زیستی با ثبت کننده‌های شیمیایی برای ساکن کردن سلول‌ها از راه جذب سطحی، برهمنش بین واکنش‌دهنده‌ها را در سامانه دوفازی افزایش داده است [۱۸ تا ۲۲]. این مواد شیمیایی باید نسبت به حمله زیستی خنثی بوده و در محیط کشت نامحلول باشند. همچنین، برای سلول‌های میکروبی غیرسمی باشند. با توجه به این اصول بنیادی، بسپارها انتخاب مناسبی هستند [۱۸ و ۲۲]. ظرفیت جذب، مقاومت شیمیایی و استحکام مکانیکی پایه بسپاری و عامل‌های انحلال عوامل اصلی در انتخاب پایه بسپاری هستند [۲۳ و ۲۴].

مطالعه‌های بسیار کمی بر روی تاثیر پایه معدنی بر فعالیت ریزاندامگان‌ها در فرایند گوگردزدایی زیستی انجام شده‌اند [۲۸ تا ۲۵]. در پژوهشی با بهره‌گیری از پتانسیل پلی‌وینیل الکل فراپارامناظلیس برای ثبت سلول‌های گونه‌ای از باکتری سودوموناس، هزینه گوگردزدایی دی‌بنزوتیوفن در مدل نفتی کاهش و به موازات آن بازده افزایش یافته است [۲۹]. در پژوهش‌های پیشین [۱۸ و ۲۲]، در دو مطالعه اولیه گوگردزدایی بنزین و نفت خام انجام شد و نتایج بسیار قابل توجهی به دست آمدند که پایه پژوهش حاضر شد. ثبت سلول‌های باکتری ردوکوکوس اریتروپولیس<sup>۵</sup> بر پلی‌وینیل الكل انجام شد که موجب افزایش بازده گوگردزدایی از بنزین و همچنین، افزایش عمر سلول‌ها در محیط نفتی شد. حذف تیوفن به عنوان نمونه الگوی گوگردی در کنار ۰/۱ گرم زیست کاتالیست تهیه شده در شرایط بهینه برابر با ۹۷/۴۱ درصد و حذف تیوفن در نمونه حقیقی بنزین ۲۶/۶۷ درصد و بنزوتیوفن ۳۸/۸۹ درصد گزارش شد. ظرفیت زیست کاتالیست

## مقدمه

سوختن ترکیب‌های حاوی گوگرد در سوخت‌های فسیلی، همواره موجب انتشار ترکیب‌های مانند گوگرد اکسید در اتمسفر بوده است که اثرات زیان‌باری بر سلامت و محیط‌زیست داشته و هزینه‌های مصرفی را افزایش داده‌اند [۱ تا ۳]. سطوح بالاتر گوگرد در سوخت‌های فسیلی از ترکیب‌های هتروسیکل آروماتیک ایجاد می‌شوند که شکسته شدن مولکول آن‌ها خطرهای زیست‌محیطی بسیاری را موجب می‌شوند [۴ و ۵]. تلاش‌های بسیاری در مسیر گسترش روش‌های کارامد و جدید گوگردزدایی هیدروژنی و غیرهیدروژنی انجام شده است. فناوری گوگردزدایی به کمک هیدروژن (HDS) با وجود موثریودن، مصرف انرژی بسیاری دارد و بازده آن در حذف ترکیب‌های هتروسیکل گوگردی مانند دی‌بنزوتیوفن (DBT<sup>۳</sup>) و مشتقان آن بسیار پایین است [۳ و ۶]. در مقابل آن گوگردزدایی زیست-کاتالیستی با انواع سویه‌های میکروبی بررسی شده است [۴ و ۷]. سویه‌های باکتریایی بسیاری قادر به اکسایش و کاهش انتخابی اتم گوگرد در ترکیب‌های تیوفنی مانند دی‌بنزوتیوفن هستند، بدون اینکه اسکلت کریبی دچار تجزیه زیستی شود. سازوکار گوگردزدایی زیستی دی‌بنزوتیوفن شناخته شده است و مسیر 4S نامیده می‌شود که شامل چهار واکنش پی‌دریبی از یک سامانه کاتالیستی چند آنزیمی است و فراورده نهایی ۲-هیدروکسی‌بنیل است [۸ تا ۱۱]. گوگردزدایی زیستی (BDS<sup>۳</sup>)، به دلیل شرایط دما و فشار متعادل و عدم نیاز به کاربرد سایر فناوری‌ها برای جداسازی مولکول‌های مواد سمی تولید شده در طول آزمایش به عنوان یک روش دوستدار محیط‌زیست شناخته شده است [۱۲ تا ۱۵]. فرایند گوگردزدایی زیستی شامل یک سامانه دو فازی است که در آن سلول‌ها به عنوان یک زیست کاتالیست در فاز مایع با فاز نفتی بر هم‌کنش دارند [۱۶]. در برخی روش‌های گوگردزدایی زیستی بازده کم ممکن است

1. Hydrodesulphurization

2. Dibenzothiophene

3. Biodesulphurization

4. Microorganism

5. Rhodococcus erytropolis

هدف این پژوهش، در ادامه ساخت زیستکاتالیست به دست آمده از تثبیت باکتری سودوموناس آئروژینوزا بر پلی اتیلن، بررسی توانایی زیستی این زیستکاتالیست برای حذف گوگرد از دی بنزوتیوفن به عنوان الگوی گوگردی از راه مسیر ۴S است که در نهایت برای گوگرددزدایی زیستی نفت کوره مورد استفاده قرار می‌گیرد.

### بخش تجربی

#### مواد شیمیایی

دی بنزوتیوفن، هگزان، گرانول پلی اتیلن و دی پتاسیم هیدروژن فسفات از مرک (آلمان) تهیه شده است. محیط‌های کشت و محلول‌ها با آب مقطّر یون‌زدوده تهیه شده‌اند. محیط کشت باکتری، محلول تریپتون سویا براث با pH برابر با ۷ بوده است که از انحلال ۱۷ گرم پیتون از کارزین، ۳ گرم پیتون از سویا، ۲/۵ گرم گلوکز مونوهیدرات D(+) ۵ گرم سدیم کلرید و ۲/۵ گرم دی پتاسیم هیدروژن فسفات در ۱ لیتر آب مقطّر یون‌زدوده تهیه شده است.

#### دستگاه‌ها

Bruker- FTIR طیفسنج فروسرخ تبدیل فوریه (ALPHA) برای تجزیه کیفی زیستکاتالیست به کارگرفته شد. تصاویر میکروسکوپ الکترونی زیستکاتالیست با دستگاه SEM (MIRA TESCAN SEM) رشد سلولی در نیمه فاز لگاریتمی با کدورت‌سنگی با دستگاه Spectro scan 60 DV انجام شد. دستگاه گریزانه<sup>۱</sup> (Froilabo SW14) برای برداشت سلول‌های کشت شده مورد استفاده قرار گرفت. طیفسنج نوری برای تعیین غلظت دی بنزوتیوفن در ۳۲۵ نانومتر با دستگاه UV Spectrophotometer (Spectro scan 60 DV) انجام گرفت. برای تعیین مقدار گوگرد کل (TSC<sup>۲</sup>) نمونه

در جذب تیوفن در پژوهش یادشده برابر با  $19/48 \text{ mg.g}^{-1}$  گزارش شد [۱۸]. همچنین، تثبیت سلول‌های باکتری سودوموناس آئروژینوزا<sup>۳</sup> بر پلی اتیلن برای گوگرددزدایی زیستی تیوفن در الگوی نفت خام انجام شد. حذف تیوفن به عنوان نمونه الگوی گوگردی در کنار ۵/۰ گرم از زیستکاتالیست تهیه شده،  $83/3$  درصد بود. این مقدار در حضور پتاسیم هگزاسیانوفرات در مدت کمتر به  $94/8$  درصد افزایش یافت. ظرفیت جذب تیوفن با این زیستکاتالیست برابر با  $8/333 \text{ mg.g}^{-1}$  محاسبه شد [۲۲]. نتایج به دست آمده از این دو پژوهش بنیادی، پایه‌های انجام پژوهش پیش رو بر نمونه نفت کوره آ (مازووت)<sup>۴</sup> را تشکیل داده‌اند. فراورده انتهایی نقطه‌نفت خام مازووت است، نفت کوره سنگین که شامل آسفالت، رزین‌ها، آلکان‌ها، آلکان‌های حلقوی و ترکیب‌های ناجور‌حلقه است. وجود این هیدروکربن‌های سنگین، مازووت را به یک فراورده گران‌رو تبدیل می‌کند که تجزیه آن بسیار سخت است. مازووت بسته به ترکیب‌های هیدروکربنی آن انواع متفاوتی دارد و ترکیب‌های هتروسیکل گوگرددار بسیاری دارد که بسیار سخت تجزیه می‌شوند. دی بنزوتیوفن یکی از بیشترین ترکیب‌های هتروسیکل مازووت است [۳۰]. همچنین، وجود ترکیب‌های گوگردی و فلزهای سنگین استفاده از مازووت را بسیار سخت‌تر کرده است و به دلیل این محدودیت‌ها در مقایسه با سایر فراورده‌های نفتی پژوهش‌های بسیار محدودی برای گوگرددزدایی نفت کوره انجام شده است [۳۱]. گزارش‌های علمی بسیار کمی در باره شناسایی و جداسازی ریزاندامگان‌های قادر به تجزیه نفت کوره سنگین موجود است که اهمیت انجام پژوهش در این زمینه را روشن تر می‌سازد [۳۰ و ۳۲ و ۳۳].

1. Pseudomonas aeruginosa  
4. Centrifuge

2. Fuel oil  
5. Total Sulphur Content

3. Mazut

مدت ۷۲ قرارداده شدند. تعداد سلول‌های تثبیت شده با اندازه-گیری میزان کاهش کدورت محلول در ۶۰۰ نانومتر (OD<sub>600</sub>) بررسی شده است. زیست‌کاتالیست تهیه شده به عنوان سامانه سلول باکتری / پایه جامد بسپاری تهیه شدند [۲۵]. برای ریخت‌شناسی و بررسی سطح زیست‌کاتالیست، پیش و پس از فرایند تثبیت تصاویر میکروسکوپ الکترونی روبشی تهیه و مقایسه شدند. برای تعیین گروه‌های عاملی سطح زیست‌کاتالیست و برهم‌کنش بین سلول‌های جذب شده و پایه بسپاری، طیف FTIR در گستره ۴۰۰ cm<sup>-1</sup> تا ۴۰۰۰ بررسی شد.

#### گوگردزدایی زیستی دی‌بنزوتیوفن با باکتری تثبیت شده بر پلی‌اتیلن

برای مطالعه سامانه دوفازی BDS، تعلیق مجدد سلول‌ها در بافر پتاسیم و نرمال هگزان با نسبت حجمی (۱:۱) انجام شد [۹، ۱۸ و ۲۲]. شرایط بهینه واکنش با مقادیر متفاوت زیست-کاتالیست (۰/۱ تا ۰/۵ گرم) در ارلن حاوی ۱۰ میلی‌لیتر از دی‌بنزوتیوفن با غلظت‌های متغیر از ۵ تا ۲۰ mg.l<sup>-1</sup>، به عنوان مدل ترکیب گوگردی نفت کوره انجام شد. نمونه کنترل نفت کوره از پالایشگاه نفت کرمانشاه تهیه شد. برای تشخیص کل مقدار گوگرد پیش و پس از فرایند گوگردزدایی زیستی، پس از رقیق‌سازی نمونه در نرمال هگزان، از طیفسنجی فلورسانس پرتو ایکس استفاده شده است. واکنش در دمای ۳۷ °C در تکاننده چرخان با ۲۰۰ دور در دقیقه در مدت ۳ ساعت انجام شد. فاز نفتی از فاز مایع به کمک گریزانه با دور در دقیقه ۱۲۰۰ جداسازی شد. پس از انجام BDS برای تجزیه عنصری مقدار TSC نمونه نفت کوره، طیفسنجی فلورسانس پرتو ایکس به کار گرفته شد.

XRF روش بسیار دقیق در اندازه‌گیری TSC در سوخت‌های فسیلی است [۳۴ و ۳۵]. تجزیه گوگرد نفت کوره

حقیقی نفت کوره، روش فلورسانس پرتو ایکس (XRF) با دستگاه (PHILIPS PW-2404) برپایه روش D-ASTM<sup>1</sup> 2622 که روش استاندارد تجزیه گوگرد در نفت خام و فراورده‌های نفتی است، به کار گرفته شد.

#### باکتری و تثبیت آن بر پلی‌اتیلن

باکتری سودوموناس آئروژینوزا گونه کنترل کیفی از AFNOR<sup>2</sup> بوده است که از گردایه ریزاندامگان‌های صنعتی ایران (PTCC<sup>3</sup>) تهیه شدند. محیط کشت پس از تهیه، در دمپشار<sup>۴</sup> اتوکلاو با دمای ۱۲۱ °C به مدت ۱۵ دقیقه ۵۰ سترنون<sup>۵</sup> شدند. برای کشت سویه باکتری سودوموناس، ۵۰ mMیلی‌لیتر از محیط کشت با دی‌بنزوتیوفن با غلظت ۳۷ °C و ۰/۲۵ در تکاننده (IKA KS130 basic) با دمای ۰/۲۵ ۲۰۰ دور در دقیقه برای ۹۶ ساعت رشد داده شد. در طول دوره کشت، بخشی از محیط کشت برای اندازه‌گیری رشد سلولی با کدورت‌سنجدی (Spectro scan 60 DV) در ۶۰۰ نانومتر، نمونه‌برداری شد [۲۰]. برداشت سلول‌ها در نیمه فاز لگاریتمی (OD<sub>600nm</sub>=1) با گریزانه در ۴۰۰۰ دور در دقیقه به مدت ۳۰ دقیقه انجام شد و سپس در ۵۰ میلی‌لیتر بافر پتاسیم فسفات M/۰ با pH ۷ برابر با ۷ به صورت تعلیقه در آمدنند و شسته شدند [۹]. پیش از فرایند تثبیت سلولی، گرانول‌های پلی‌اتیلن در ۱۲۰ °C به مدت ۲۰ دقیقه در دستگاه دمپشار قرارداده شدند و همچنین، اصلاح ساختار باکتری با پیش‌تصفیه توده زیستی برای رسیدن به بیشینه ظرفیت جذب زیستی با پتاسیم هیدروکسید انجام شد. سلول‌های معلق باکتری با پایه بسپاری با نسبت حجمی (۱:۱) در ۳۷ °C در تکاننده چرخان با ۲۰۰ دور در دقیقه به

1. American Society for Testing and Materials

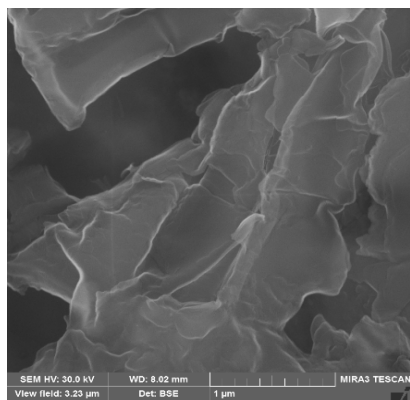
2. Association Francaise de Normalization

3. Persian Type Culture Collection

4. Autoclave

5. Sterile

6. Optical Density



شکل ۲ تصویر SEM سلول‌های آزاد باکتری سودوموناس آئروژینوزا ۶۰ روز پس از کشت سلولی

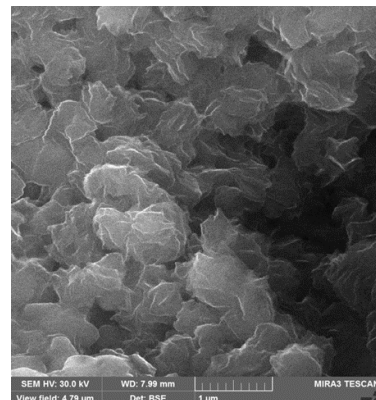
تائید از بین نرفتن گروههای عاملی موجود در سطح زیست‌کاتالیست، با مقایسه طیف FTIR پیش و پس از تثبیت سلولی انجام شده است. شکل ۳-الف طیف FTIR باکتری سودوموناس اصلاح شده و شکل ۳-ب طیف FTIR مربوط به این باکتری پس از تثبیت بر پلی‌اتیلن است.

بر پایه روش ASTM D-2622 انجام شد. این روش استاندارد برای تعیین گوگرد کل در نفت خام و فراورده‌های نفتی مایع یا نیم‌جامد و جامدی است که در گرمای ملایم به صورت مایع روان در می‌آیند و یا در حلال‌های هیدروکربنی محلول هستند.

## نتیجه‌ها و بحث

### شناسایی زیست‌کاتالیست

ریخت سطح زیست‌کاتالیست و جذب سطحی باکتری سودوموناس آئروژینوزا بر پلی‌اتیلن با تصویر میکروسکوپ الکترونی روشی بررسی شد (شکل ۱). در مقایسه با شکل ۲ که تصویر SEM باکتری‌های آزاد است، مشاهده می‌شود که سلول‌های آزاد و تثبیت‌نشده پس از ۶۰ روز از فرایند کشت، شکل منظم دیواره سلولی خود را از دست داده‌اند که نشان‌دهنده عدم وجود فعالیت دگرگشته<sup>۳</sup> در سلول است. درصورتی که بیشتر سلول‌های تثبیت‌شده بر بسپار پس از گذشت زمان مشابه همچنان ساختار زیستی خود را حفظ کرده‌اند.



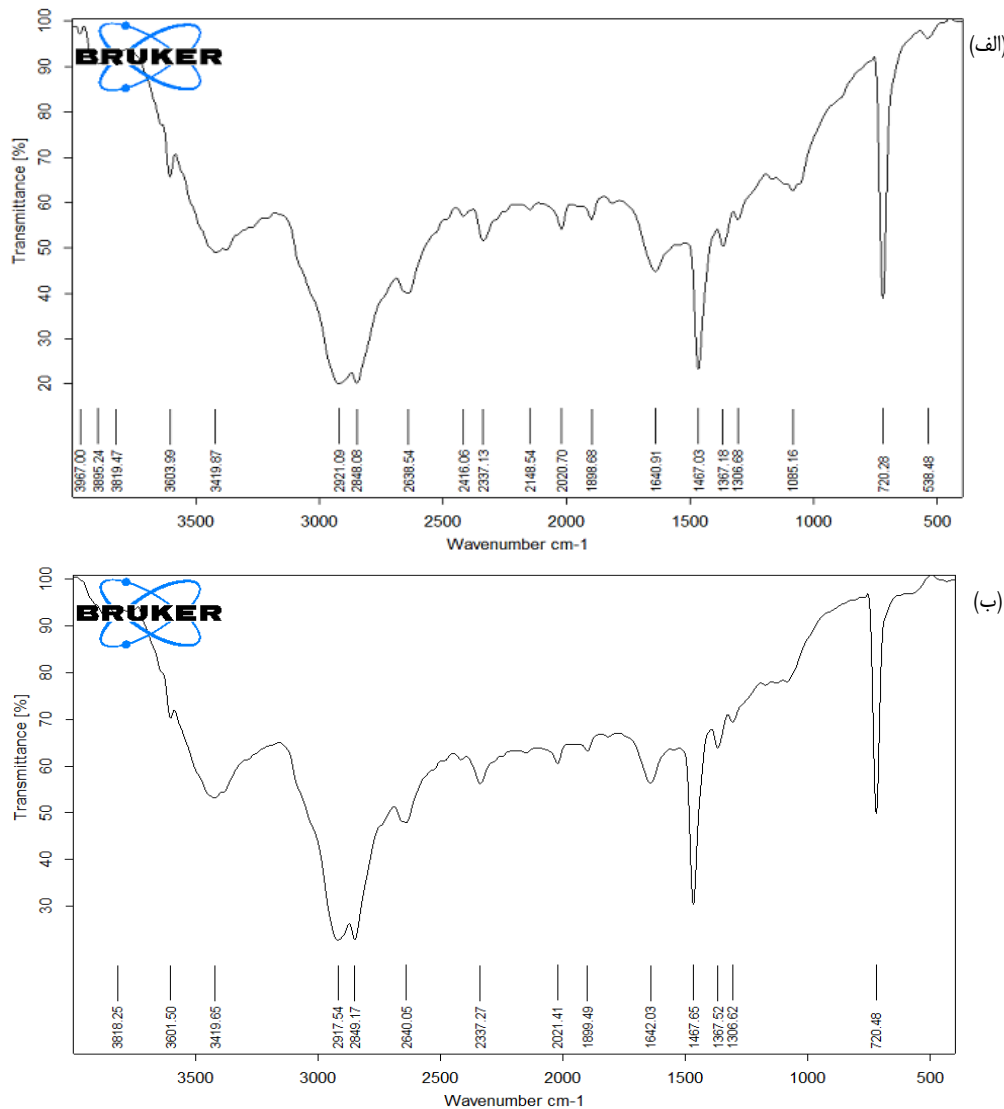
شکل ۱ تصویر SEM زیست‌کاتالیست به دست آمده از تثبیت باکتری سودوموناس آئروژینوزا بر پلی‌اتیلن ۶۰ روز پس از تثبیت سلولی

1. Cultivation process

2. Metabolic

سال چهاردهم، شماره ۴، زمستان ۱۳۹۹

نشریه پژوهش‌های کاربردی در شیمی (JARC)



شکل ۳ طیف‌های FTIR باکتری اصلاح ساختارشده (الف) و باکتری ثبیت شده بر پلی‌اتیلن (ب)

پروتئین و اسیدهای چرب است که حالت خمشی آن در  $\text{cm}^{-1}$  ظاهر شده است. نوار ضعیف  $1367/\text{cm}^{-1}$  مربوط به خمس گروههای متیل و متیلن اسیدهای چرب و پروتئین‌ها و حالت خمشی C-H در آنکن در  $2921/\text{cm}^{-1}$  پدیدار شده است و نوار ضعیف  $1367/\text{cm}^{-1}$  مربوط به گروه N-C در آمین

در شکل ۳-الف، نوار  $3419/\text{cm}^{-1}$  مربوط به حالت کششی گروه هیدروکسیل و گروه آمینو در آمید نوع دوم است. نوار  $1640/\text{cm}^{-1}$  مربوط به حالت کششی گروه کربونیل در ساختار پروتئین‌هاست. نوارهای  $2848/\text{cm}^{-1}$  و  $2921/\text{cm}^{-1}$  مربوط به حالت کششی در گروههای متیل و متیلن در ساختار

متفاوت دی بنزوتیوفن به عنوان الگوی گوگردی نفت کوره و در مدت‌های متفاوت مورد بررسی قرار گرفت. دما و pH در همه آزمایش‌ها در بهترین شرایط زیستی باکتری به ترتیب برابر با  $37^{\circ}\text{C}$  و ۷ تنظیم شد. همه آزمایش‌ها برای بررسی تکرارپذیری فرایند سه بار تکرار شدند. برپایه نتایج بدست آمده، افزایش بازده گوگرددزدایی زیستی با کاهش مقدار زیست‌کاتالیست و افزایش مدت تماس صورت گرفت. همچنین، بیشترین بازده در کمترین غلظت اولیه دی بنزوتیوفن بدست آمد. فعالیت گوگرددزدایی زیستی به صورت بازده زیست‌کاتالیست بهبودیافته در جدول ۱ ارایه شده است. در حضور ۰/۱ گرم زیست‌کاتالیست، بازده تجزیه زیستی دی بنزوتیوفن برای محلول ( $\text{mg.l}^{-1}$ ) ۵ پس از  $180\text{ s}$  دقیقه برابر با  $92/53\%$  درصد بود.

است. در طیف باکتری ثبت شده بر پلی‌اتیلن نیز همین نوارها با اندازی جایی مشاهده می‌شوند (شکل ۳-ب). این طیف‌ها نشان می‌دهند که با ثبت باکتری‌ها بر پلی‌اتیلن، گروه‌های عاملی تخریب نشده‌اند.

گوگرددزدایی زیستی دی بنزوتیوفن با زیست‌کاتالیست بهینه‌سازی فرایند گوگرددزدایی زیستی با ثبت بر بسپار موجب افزایش بازده و سرعت واکنش در مقایسه با فعالیت سلول‌های مجزا بوده که این روند در اثر زمان بیشتر فعالیت متابولیسمی باکتری‌ها بوده است. برای تأیید فرایند ثبت زیست‌کاتالیست، تصاویر SEM از سلول‌های ثبت شده بر پایه بسپاری تهیه شد. شرایط بهینه برای گوگرددزدایی با مقدار متفاوت زیست‌کاتالیست در غلظت‌های

جدول ۱ گوگرددزدایی زیستی دی بنزوتیوفن با زیست‌کاتالیست در  $37^{\circ}\text{C}$  و  $7 = \text{pH}$

BDS بازده $\pm \text{RSD} (\%)$	Ce ( $\text{mg.l}^{-1}$ )	$C_0$ ( $\text{mg.l}^{-1}$ )	زمان تماس (دقیقه)	مقدار زیست کاتالیست (گرم)
$32/85 \pm 0/09$	$3/3670$	۵	۳۰	۰/۱
$17/426 \pm 0/08$	$8/2574$	۱۰	۳۰	۰/۱
$9/8 \pm 0/08$	$13/5269$	۱۵	۳۰	۰/۱
$6/02 \pm 0/08$	$18/7964$	۲۰	۳۰	۰/۱
$88/14 \pm 0/08$	$0/5928$	۵	۶۰	۰/۱
$90/54 \pm 0/08$	$0/4730$	۵	۹۰	۰/۱
$91/74 \pm 0/08$	$0/4131$	۵	۱۲۰	۰/۱
$92/53 \pm 0/03$	$0/3732$	۵	۱۸۰	۰/۱
$85/75 \pm 0/08$	$0/7125$	۵	۱۸۰	۰/۲
$71/38 \pm 0/08$	$1/4311$	۵	۱۸۰	۰/۳
$48/62 \pm 0/08$	$2/5688$	۵	۱۸۰	۰/۴
$29/46 \pm 0/08$	$3/5269$	۵	۱۸۰	۰/۵

ارزیابی قرار گرفت. اطلاعات سینتیکی با معادله سرعت شبکه‌درجه اول (PFO) در شکل خطی آن (معادله ۱)

مدل‌های سینتیکی برای بررسی نتایج بدست آمده برای تعیین ثابت سرعت فرایند و مرتبه واکنش BDS مورد

در این معادله ( $q_e$  مقدار دی‌بنزوتیوفن جذب شده بر زیست‌کاتالیست در شرایط تعادل و  $q_t$  ( $mg\cdot g^{-1}$ ) مقدار جذب شده دی‌بنزوتیوفن در زمان‌های تماس متفاوت است. ( $k_2$  ( $g\cdot mg^{-1}\cdot min^{-1}$ ) ثابت سرعت برای معادله سرعت شبهدارجه دوم است [۳۷] مقدار  $k_2$  و  $q_e$  از شبیب و عرض از مبداء نمودار خطی  $t/q_t$  بر حسب زمان به دست آمده است. جدول ۲ عامل‌های محاسبه شده از این دو الگوی سینتیکی را نشان می‌دهد.

همخوانی داشت. در این معادله ( $q_e$  مقدار دی‌بنزوتیوفن جذب شده بر زیست‌کاتالیست در شرایط تعادل و  $q_t$  ( $mg\cdot g^{-1}$ ) مقدار جذب شده دی‌بنزوتیوفن در زمان‌های تماس متفاوت است. ( $k_1$  ( $min^{-1}$ ) ثابت سرعت برای معادله سرعت شبهدارجه اول است [۳۶]. مقدار  $k_1$  و  $q_e$  از شبیب و عرض از مطالعه‌های سینتیکی همچنین، با معادله شبهدارجه دوم (PSO) همخوانی داشت (معادله ۲).

$$(t/q_t) = (1/k_2 q_e^2) + (1/q_e) t \quad (2)$$

جدول ۲ عامل‌های سینتیکی واکنش گوگردزادی زیستی دی‌بنزوتیوفن با باکتری سودوموناس آئروژینوزا تثبیت شده بر پلی‌اتیلن

$q_t$ ( $mg\cdot g^{-1}$ )	$t/q_t$	$\log (q_e - q_t)$	$C_e$ ( $mg\cdot l^{-1}$ )	زمان تماس (دقیقه)	$C_0$ ( $mg\cdot l^{-1}$ )	مقدار زیست‌کاتالیست (گرم)
۴,۴۰۷	۱۳/۶۱	-۰,۶۵۸	۰,۵۹۲۸	۶۰	۵	۰/۱
۴,۵۲۷	۱۹/۸۸	-۱,۰۰۱	۰,۴۷۳۰	۹۰	۵	۰/۱
۴,۵۸۷	۲۶/۱۶	-۱,۳۹۹	۰,۴۱۳۱	۱۲۰	۵	۰/۱
۴,۶۲۷	۹/۳۸	-	۰,۳۷۳۲	۱۸۰	۵	۰/۱

نشان‌دهنده ایجاد یک پوشش تک‌لایه از دی‌بنزوتیوفن روی زیست‌کاتالیست، با تعداد محدودی از مکان‌های جذب سطحی با انرژی‌های یکنواخت و بدون انتقال دی‌بنزوتیوفن به سطوح داخلی‌تر زیست‌کاتالیست است. معادله لانگمویر در فرم خطی خود به صورت معادله ۳ است.

برپایه محاسبه‌های انجام‌شده جذب زیستی دی‌بنزوتیوفن بر باکتری سودوموناس آئروژینوزا تثبیت شده بر پلی‌اتیلن برای تجزیه زیستی با الگوی سینتیکی شبهدارجه دوم همخوانی کامل دارد.

با توجه به شکل ۴ مقدار  $q_e$  محاسبه شده از رابطه شبهدارجه اول به طور مشخصی با مقدار به دست آمده از مشاهده‌های آزمایشگاهی تفاوت دارند و این مقایسه نشان‌دهنده آن است که جذب زیست دی‌بنزوتیوفن از سینتیک واکنش شبهدارجه اول پیروی نمی‌کند.

هم‌ماهای لانگمویر<sup>۱</sup> و فرونالیچ<sup>۲</sup> برای مقایسه نتایج به دست آمده مورد بررسی قرار گرفته است. هم‌دما لانگمویر

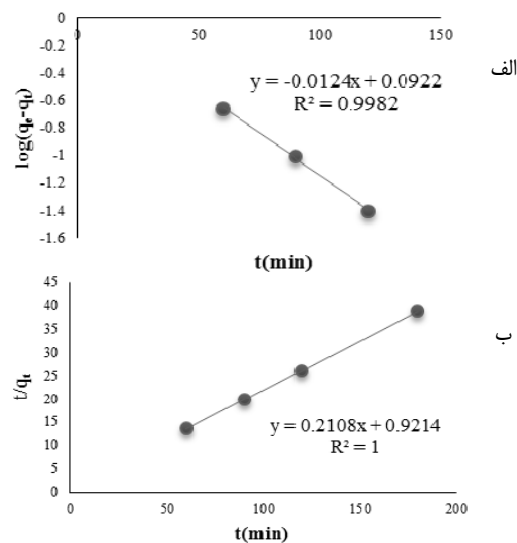
$$R_L = 1/(1 + b \cdot C_0) \quad (4)$$

هم‌دما فروندلیچ یک معادله تجربی برای جذب سطحی بر یک سطح ناهمگن یا سطحی که حاوی مکان‌هایی با تمایل‌های متفاوت برای جذب است، استوار است. بهیان دیگر، مکان‌هایی که پیوند قوی‌تر ایجاد می‌کنند در ابتدا اشغال می‌شوند و قدرت پیوند با افزایش اشغال شدن مکان‌های جذب، کاهش می‌یابد. معادله فروندلیچ در فرم خطی خود به صورت معادله ۵ است.

$$\log q_e = \log K_f + (1/n) \log C_e \quad (5)$$

معادله هم‌دما فروندلیچ دو ثابت  $1/n$  و  $K_f$  ( $\text{mg} \cdot \text{g}^{-1}$ ) دارد که از عرض از مبدأ و شیب نمودار  $\log q_e$  برحسب  $\log C_e$  محاسبه می‌شوند. ثابت  $K_f$  ضریب نفوذ جذب سطحی و نشان‌دهنده مقدار دی‌بنزوتیوفن جذب سطحی شده بر زیست‌کاتالیست در واحد غلظت تعادلی است. ثابت  $1/n$  نشان‌دهنده شدت جذب زیستی یا ناهمگنی سطح است.

جدول ۳ مقادیر محاسبه شده  $q_e$  در استفاده از مقادیر متفاوت زیست‌کاتالیست را نشان می‌دهد. افزایش مقدار زیست‌کاتالیست موجب کاهش ظرفیت جذب زیستی در اثر اشباع شدن مکان‌های اتصال شده است که درنتیجه آن سطح فعال کمتری در دسترس قرار می‌گیرد. همچنین، کاهش بازده گوگردازی با افزایش مقدار زیست‌کاتالیست به این علت است که باکتری موجود بر زیست‌کاتالیست در مقدارهای بالا، تشکیل توده‌های سلولی می‌دهد که دسترسی به سطح فعال جذب زیستی را کاهش می‌دهد. به عبارت دیگر، یک ارتباط معکوس بین مقدار زیست‌کاتالیست و جذب زیستی دی‌بنزوتیوفن مشاهده شده است.



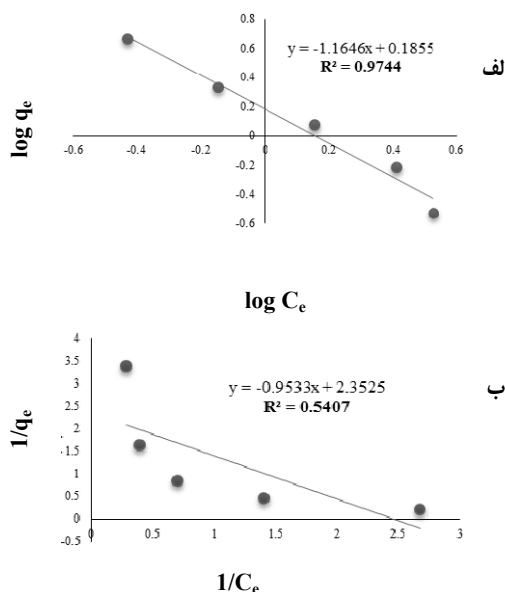
شکل ۴ سیستمک شبدرجه اول واکنش گوگردازی زیستی دی‌بنزوتیوفن با باکتری سودوموناس آتروژینوزا ثبیت شده بر پلی‌اتیلن (الف) و سودوموناس آتروژینوزا ثبیت شده بر پلی‌اتیلن (ب) سودوموناس آتروژینوزا ثبیت شده بر پلی‌اتیلن ( $k_1=0.0285 \text{ min}^{-1}$ ,  $q_{e1}=1.236 \text{ mg} \cdot \text{g}^{-1}$ ) و سودوموناس آتروژینوزا ثبیت شده بر پلی‌اتیلن ( $k_2=0.048 \text{ g} \cdot \text{mg}^{-1}$ ,  $q_{e2}=4.744 \text{ mg} \cdot \text{g}^{-1}$ )

$$(1/q_e) = (1/q_{max}) + (1/b \cdot q_{max}) (1/C_e) \quad (3)$$

که در آن،  $C_e$  ( $\text{mg} \cdot \text{l}^{-1}$ ) غلظت باقیمانده دی‌بنزوتیوفن پس از گوگردازی است و  $q_{max}$  ( $\text{mg} \cdot \text{g}^{-1}$ ) بیشینه ظرفیت جذب و  $qe$  ( $\text{mg} \cdot \text{g}^{-1}$ ) مقدار دی‌بنزوتیوفن جذب شده روی سطح زیست‌کاتالیست در شرایط تعادل و  $b$  ( $\text{l} \cdot \text{mg}^{-1}$ ) ثابت  $C_e/q_e$  محاسبه می‌شود. بررسی هم‌دما لانگمویر با عامل جداسازی  $R_L$  انجام می‌شود که نشان‌دهنده شکل هم‌دما و تمایل دی‌بنزوتیوفن به جذب سطحی بر زیست‌کاتالیست است، اگر  $R_L$  عددی بین صفر تا یک باشد.

جدول ۳ عامل‌های همدماهای لانگمویر و فروندلیچ برای گوگرددزدایی دی‌بنزوتیوفن با باکتری سودوموناس آئروژینوزا تثبیت شده بر پلی‌اتیلن

$\log q_e$	$\log C_e$	$1/q_e$ (g.mg <sup>-1</sup> )	$1/C_e$ (L.mg <sup>-1</sup> )	$q_e$ (mg.g <sup>-1</sup> )	$C_e$ (mg.L <sup>-1</sup> )	$C_0$ (mg.L <sup>-1</sup> )	زمان تماس (دقیقه)	مقدار زیست کاتالیست(گرم)
-0.6653	-0.14281	0.2161	2.679	46268	0.3732	5	180	0.1
-0.3312	-0.1472	0.4665	1.4035	2.1437	0.7125	5	180	0.2
-0.0754	0.1557	0.8406	0.6988	1.1896	1.4311	5	180	0.3
-0.2160	0.4097	1.6453	0.3893	0.678	2.5688	5	180	0.4
-0.5310	0.5274	3.3942	0.2835	0.2946	3.5269	5	180	0.5



شکل ۵ الگو همدما فروندلیچ در جذب زیستی دی‌بنزوتیوفن بر زیست کاتالیست طی واکنش گوگرددزدایی زیستی با باکتری سودوموناس آئروژینوزا تثبیت شده بر پلی‌اتیلن ( $k_F = 0.5328$  mg.g<sup>-1</sup>) (الف) و الگو همدما لانگمویر در جذب زیستی دی‌بنزوتیوفن بر زیست کاتالیست طی واکنش گوگرددزدایی زیستی باکتری سودوموناس آئروژینوزا تثبیت شده بر پلی‌اتیلن (-R<sub>L</sub> = 0.08) (ب)

برای ایه همدما لانگمویر و فروندلیچ مربوط به جذب زیستی دی‌بنزوتیوفن (شکل ۵)، مقدار ضریب همبستگی بالاتر نمودار فروندلیچ ( $R^2 = 0.9744$ ) نشان‌دهنده هماهنگی و همخوانی بسیار بالای نتایج به دست آمده با الگوی جذب فروندلیچ است ( $K_F = 1.5328$  mg.g<sup>-1</sup>، همچنین مقدار منفی R<sub>L</sub> که از نمودار لانگمویر به دست آمده است - (R<sub>L</sub> = 0.08) نشان می‌دهد که جذب زیستی دی‌بنزوتیوفن از الگوی همدما لانگمویر پیروی نمی‌کند.

گوگرددزدایی زیستی نفت کوره با زیست کاتالیست گوگرددزدایی زیستی نفت کوره در شرایط بهینه به دست آمده از واکنش دی‌بنزوتیوفن انجام شد. ویژگی‌های اولیه نمونه نفت کوره در جدول ۴ آورده شده است. نمونه نفت کوره از پالایشگاه نفت کرمانشاه تهیه شد و برای تشخیص کل مقدار گوگرد پیش و پس از فرایند گوگرددزدایی زیستی از طیف‌спектrometer فلورسانس پرتو ایکس استفاده شد. بر پایه آنالیزهای XRF از مقدار کل (mg.L<sup>-1</sup>) ۲۲۵۰۰ ترکیب‌های گوگردی باقی‌مانده در نمونه نفت کوره پس از پایان گوگرددزدایی (mg.L<sup>-1</sup>) ۷۹۴۱/۸۷۵ با زیست کاتالیست حذف شده است، بهینه‌یابی دیگر درصد از کل ترکیبات گوگرد در این فرایند حذف شده‌اند.

عامل‌های وابسته و مستقل معادله بود. همچنین، مقدار  $q_1$  محاسبه شده از معادله شبه درجه دوم بسیار نزدیک به مقدار  $q_2$  به دست آمده از آزمایش‌ها بود. سینتیک شبه درجه دوم نمایان‌گر نقش فرایند جذب شیمیایی در تعیین سرعت فرایند است. همچنین، نشان‌دهنده این است که فرایند جذب دی‌بنزوتیوفن بر زیست‌کاتالیست، از نوع جذب شیمیایی است و سرعت اشغال مکان‌های فعال زیست‌کاتالیست با مربع تعداد مکان‌های فعال سطحی اشغال‌شده بر سطح زیست‌کاتالیست در ارتباط است. بررسی هم‌دمای جذب نمونه نشان‌دهنده پیروی از هم‌دمای فروندلیج بود. گوگرداری نمونه نفت کوره با در نظر داشتن حضور هیدروکربن‌های سنگین که آن را به یک ماده بسیار گران‌رو و سخت تحریزه‌پذیر تبدیل کرده، بازده قابل قبول داشت. بنابراین، در کل می‌توان نتیجه گرفت که زیست‌کاتالیست به دست آمده از باکتری سودوموناس آئروژنوزا ثبت شده بر پلی‌اتیلن می‌تواند در فرایند گوگرداری زیستی ترکیبات تیوفنی و نفت کوره بسیار موثر باشد. مطالعه حاضر نشان داد که ثبت کردن سولولهای باکتریایی قادر به تجزیه ترکیبات گوگردی، به کمک جذب سطحی بر پایه بسیار، یک روش بسیار بهینه در فرایندهای گوگرداری است و ثبت بر بسیار موجب طولانی‌تر شدن دوره استفاده از زیست‌کاتالیست شده است. این روش یک بهینه‌سازی زیستی کاربردی برای ساخت زیست‌کاتالیست‌هایی با دگرگشته فعال زیستی است که با سرعت‌بخشیدن به برهم‌کنش بین باکتری و فاز نفتی، موجب پیشرفت در کارایی زیست‌کاتالیست شده است. از این‌رو، می‌تواند برای فرایند حذف زیستی آلاینده‌های شیمیایی در فراورده‌های نفتی و سوخت‌های فسیلی بررسی شود.

جدول ۴ ویژگی‌های نمونه نفت کوره

۰/۹۵	وزن مخصوص نمونه نفت کوره در $15.5^{\circ}\text{C}$
$80-100^{\circ}\text{C}$	نقطه اشتعال
$24^{\circ}\text{C}$	نقطه ریزش
$250-270\text{ (c.St.)}$	گران‌روی سینتیکی در $20^{\circ}\text{C}$
% ۰/۰۶	درصد خاکستر
۲/۵ (wt. %)	مقدار جامد کل
$22500\text{ (mg.l}^{-1})$	مقدار گوگرد کل

### نتیجه‌گیری

در این پژوهش، یک نوع زیست‌کاتالیست موثر و قابل بازیابی تثبیت شده برپایه بسیاری برای حذف ترکیبات گوگردی از نفت کوره تهیه شد. فعالیت باکتریایی و سرعت فرایند و بهینه‌سازی شرایط جذب زیستی و تجزیه زیستی ترکیبات گوگردی در حضور این زیست‌کاتالیست مورد بررسی قرار گرفت. تصاویر SEM نشان‌دهنده آن بود که در فرایند تثبیت، سطح بسیار به طور کامل با سولولهای باکتری پوشیده شده بود. همچنین، این تصویرها یک شکل لایه‌لایه‌ای منظم در سطح زیست‌کاتالیست را نمایش دادند. مقایسه طیف‌های FTIR پیش و پس از فرایند تثبیت، نشان‌دهنده آن بود که گروه‌های عاملی سطح سولول که همان مکان‌های این بود که گروه‌های عاملی سطح سولول که همان مکان‌های همچنان بدون تخریب وجود داشتند. بررسی روند جذب دی‌بنزوتیوفن در زمان‌های تماس متفاوت نشان‌دهنده ایجاد تعادل در زمان ۹۰ دقیقه و جذب سریع در ۳۰ دقیقه اول بود. مطالعات سینتیکی نشان‌دهنده این بود که سینتیک شبه درجه دوم توصیف کننده سرعت واکنش جذب زیستی بود، ضریب همبستگی بالا ( $R^2=1$ ) نمایش‌گر ارتباط خطی دقیق بین

### مراجع

- [1] Leflaive, P.; Lemberton, J.L.; Perot, G.; Mirgain, C.; Carriat, J.Y.; Colin, J.M.; Appl. Catal. A: General. 227, 201-215, 2002.  
[2] Brunet, S.; Mey, D.; Pérot, G.; Bouchy, C.; Diehl, F.; Appl. Catal. A General. 278, 143-172, 2005.

- [3] Song, C.; Catal. Today. 86, 211-263, 2003.
- [4] Díaz, E.; International Microbiol. 7, 173-180, 2010.
- [5] Fujikawa, T.; Kimura, H.; Kiriyama, K.; Hagiwara, K.; Catal. Today 111, 188-193, 2006.
- [6] Ito, E.; Van Veen, J.R.; Catal. Today 116, 446-460, 2006.
- [7] Nuhu, A.A.; Rev. Environ. Sci. Bio. Technol. 12, 9-23, 2013.
- [8] Davoodi, F.; Vosoughi, M.; Ziaeef, A.A.; Bioresour. Technol. 101, 1102-1105, 2010.
- [9] Caro, A.; Boltes, K.; Letón, P.; García-Calvo, E.; Biochem. Eng. J. 35, 191-197, 2007.
- [10] Li, W.; Wang, M.D.; Chen, H.; Chen, J.M.; Shi, Y.; Biotechnol. Lett. 28, 1175-1179, 2006.
- [11] Aggarwal, S.; Karimi, I.A.; Kilbane, J.J.; Lee, D.Y.; Mol. BioSyst. 8, 2724-2732, 2012.
- [12] Li, W.; Zhang, Y.; Wang, M.D.; Shi, Y.; FEMS Microbiol. Lett. 247, 45-50, 2005.
- [13] Kilbane, J.J.; Curr. Opin. Biotechnol. 17, 305-314, 2006.
- [14] Chen, H.; Zhang, W.J.; Chen, J.M.; Cai, Y.B.; Li, W.; Bioresour. Technol. 99, 3630-3634, 2008.
- [15] Li, Y.G.; Gao, H.S.; Li, W.L.; Xing, J.M.; Liu, H.Z.; Bioresour. Technol. 100, 5092-5096, 2009.
- [16] Takada, M.; Nomura, N.; Okada, H.; Nakajima-Kambe, T.; Nakahara, T.; Uchiyama, H.; Biotechnol. Lett. 27, 871-874, 2005.
- [17] Caro, A.; Boltes, K.; Letón, P.; García-Calvo, E.; Chemosphere. 73, 663-669, 2008.
- [18] Fatahi, A.; Sadeghi, S.; Lett. Appl. Microbiol. 64, 370-378, 2017.
- [19] Feng, J.; Zeng, Y.; Ma, C.; Cai, X.; Zhang, Q.; Tong, M.; Yu, B.; Xu, P.; Appl. Environ. Microbiol. 72, 7390-7393, 2006.
- [20] Shan, G.; Xing, J.; Zhang, H.; Liu, H.; Appl. Environ. Microbiol. 71, 4497-4502, 2005.
- [21] Hou, Y.; Kong, Y.; Yang, J.; Zhang, J.; Shi, D.; Xin, W.; Fuel 84, 1975-1979, 2005.
- [22] Karimi, A.M.; Sadeghi, S.; Salimi, F.; Ecol. Chem. Eng. S. 24, 371-379, 2017.
- [23] Shao, P.; Huang, R.Y.M.; J. Membr. Sci. 287, 162-179, 2007.
- [24] Rychlewska, K.; Konieczny, K.; Bodzek, M.; Archiv. Environ. Prot. 41, 3-11, 2015.
- [25] Dinamarca, M.A.; Ibacache-Quiroga, C.; Baeza, P.; Galvez, S.; Villarroel, M.; Olivero, P.; Ojeda, J.; Bioresour. Technol. 101, 2375-2378, 2010.
- [26] Dinamarca, M.A.; Rojas, A.; Baeza, P.; Espinoza, G.; Ibacache-Quiroga, C.; Ojeda, J.; Fuel. 116, 237-241, 2014.
- [27] Zhang, H.; Liu, Q.; Li, Y.; Li, W.; Xiong, X.; Xing, J.; Liu, H.; Sci. China Series B: Chem. 51, 69-77, 2008.
- [28] Zhang, H.; Shan, G.; Liu, H.; Xing, J.; Surf. Coat. Technol. 201, 6917-6921, 2007.
- [29] Guobin, S.; Jianmin, X.; Chen, G.; Huizhou, L.; Jiayong, C.; Lett. Appl. Microbiol. 40, 30-36, 2005.
- [30] Khorasani, A.C.; Mashreghi, M.; Yaghmaei, S.; Iran. J. Environ. Health. Sci. Eng. 10, 2-9, 2013.
- [31] Jiang, Z.; Hongying, L.U.; Zhang, Y.; Can, L.I.; Chin. J. Catal. 32, 707-715, 2011.
- [32] Khorasani, A.C.; Mashreghi, M.; Yaghmaei, S.; Transaction Chem. Chem. Eng. 20, 1929, 2013.
- [33] Khorasani, A.C.; Mashreghi, M.; Yaghmaei, S.; J. Environ. Health. Sci. Eng. 12, 98, 2014.
- [34] Labana, S.; Pandey, G.; Jain, R.K.; Lett. Appl. Microbiol. 40, 159-163, 2005.
- [35] Guobin, S.; Huaiying, Z.; Jianmin, X.; Guo, C.; Wangliang, L.; Huizhou, L.; Biochem. Eng. J. 27, 305-309, 2006.
- [36] Lagergren, S.; K Svenska Vetenskapsakademiens Handl. 24, 1-39, 1898.
- [37] Ho, Y.S.; McKay, G.; Process biochem. 34, 451-465, 1999.

**Biodesulphurization of dibenzothiophene as a sulphur compound model in heavy fuel oil supported by bacterial strain on polyethylene****Babak Ghorbani Barnaji<sup>1</sup>, Soroor Sadeghi<sup>2,\*</sup>, Farhad Salimi<sup>3</sup>**

1. M.Sc. student of Chemical Engineering, Department of Chemical Engineering, Kermanshah Branch, Islamic Azad University, Kermanshah, Iran.
2. Assistant Prof. of Applied Chemistry, Department of Chemistry, Kermanshah Branch, Islamic Azad University, Kermanshah, Iran.
3. Assistant Prof. of Chemical Engineering, Department of Chemical Engineering, Kermanshah Branch, Islamic Azad University, Kermanshah, Iran.

**Abstract:** A new biodesulfurization method has been considered using *Pseudomonas aeruginosa* supported on polyethylene (PE) for biodesulfurization (BDS) of dibenzothiophene (DBT) as heavy fuel oil sulphur compound model. The obtained results according to Spectrophotometric analysis at 325 nm showed that 90.54 % of DBT at the primary concentration about 5 ( $\text{mg.L}^{-1}$ ), pH=7, biocatalyst dosage of 0.1 g, in 37 °C and after 90 min of contact time has been removed. These optimum conditions have been applied for heavy fuel oil (mazut) samples and the biodegradation of their total sulphur content (TSC) has been investigated by X-ray fluorescence spectrometer (XRF). The obtained results revealed that 33.075 % of total sulphur content from mazut sample has been removed. Kinetic study predicted the chemisorption process as the rate determining step, as it followed the pseudo-second-order rate equation. The data for DBT adsorption on biocatalyst fitted to the Freundlich isotherm model. Morphology and surface functional groups of the biocatalyst have been investigated by SEM and FT-IR, respectively.

**Keywords:** Biodesulfurization, *Pseudomonas aeruginosa*, Polyethylene, Heavy Fuel oil (Mazut), Dibenzothiophene.

\* Corresponding author Email:  
soroorsadeghi@iauksh.ac.ir

**Journal of Applied Research in Chemistry**